

## 混合砂れきの粒径別運動特性量

京都大学工学部 正員 中川 博次  
 京都大学工学部 正員 辻本 哲郎  
 連輸省 正員 中野 晴  
 京都大学大学院 学生員 ○加賀田 健司

1. まえがき 混合砂れきの流送は河床表面の粒度構成に影響されるとともに、流送によって河床粒度構成が刻々変化する複雑な現象<sup>2)</sup>、その合理的な記述のために運動に関する諸量の特性を粒径別に明らかにしておくことが重要である。本報は16mmフィルム解析の手法によってこれらを検討したものである。本報は、著者らがすでに発表した混合砂れき床の粗度と粒径別移動限界に及ぼす粒度分布の効果の検討に続くものである。

2. 粒径別 sediment pick-up rate  $p_{si}$ 

均一砂の場合、車動離脱型式を仮定して次式が導かれている<sup>2)</sup>(一部近似式で代用)。

$$p_{si} = p_s \sqrt{d_i(\sigma/\rho - 1)} g = F_0 \cdot C_* \cdot \left\{ 1 - \left( C_* / C_* \right)^3 \right\}^3$$

$$F_0 = F_* \cdot k_* \cdot B_* \cdot C_* (\bar{k}_*, \sin \beta + \cos \beta) / \beta$$

$$B_* = (\sigma/\rho - 1) / \{ (\sigma/\rho + C_M) (1 + 4 \bar{k}_*^2) \}, \quad \bar{k}_* = k/d$$

$$C_* = (A_2/A_3) \cdot A_*^2 C_D, \quad A_* = U_d/U_*, \quad \text{ここに}$$

$\bar{k}_*$ : 砂れきの重心よりの回転2次半径,  $U_d$ : 砂れきの中心位置での局所流速であり、また  $F_0 \approx 0.03$  である。

この式を粒径別に理解することにより、 $p_{s+i} = p_s \sqrt{d_i(\sigma/\rho - 1)} g$  について、

$$p_{s+i} = F_0 \left( \frac{\sin \beta_i}{\beta_i} / \frac{\sin \beta_0}{\beta_0} \right) \cdot C_{i0} \cdot \frac{C_{i0}}{C_{i0}} \left\{ 1 - \left( \frac{C_{i0}}{C_{i0}} \right)^3 \right\}^3$$

0は均一砂に対する値であり、 $C_{i0}/C_{i0}$  に対してはすでに次式を導いている<sup>1)</sup>

$$\frac{C_{i0}}{C_{i0}} = f_E(\beta_i) \left\{ \ln 15.05 / \ln \left( 15.05 \frac{d_i}{d_m} \cdot \frac{z_m}{z_e} \right) \right\}^2, \quad f_E(\beta_i) = \text{func} \left( \frac{d_i}{d_m} \cdot \frac{z_m}{z_e} \right)$$

(図-1参照)。 $z_m/z_e, z_m$  は粒度分布の効果を表しており、粒径別には変

ゆるない(図-2)。また  $f_E(\beta_i)$  (については文献1)を参照されたい。

上記の  $p_{s+i}$  について実験的検証を行った。実験に用いた砂は1元ほ  
正規分布に従う5種類  
の混合砂(図-3参照)。  
実測値と理論曲線の  
比較は図-4(示す通り)  
で概ね適合していると言え  
る(土屋<sup>3)</sup>、芦田<sup>4)</sup>の実  
験値も併示している)。

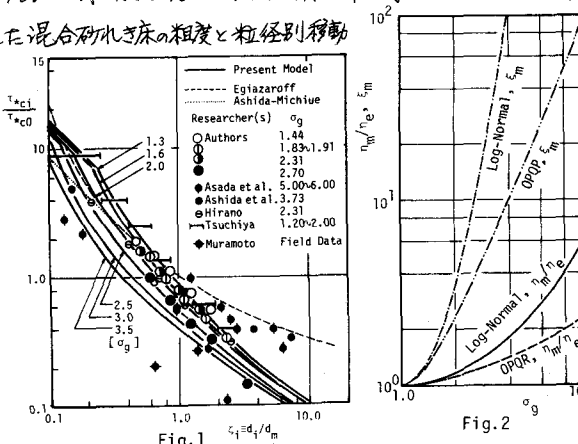


Fig. 2

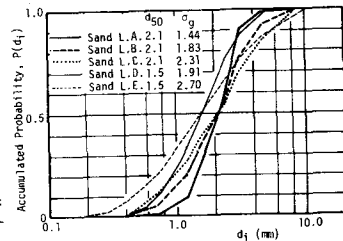


Fig. 3

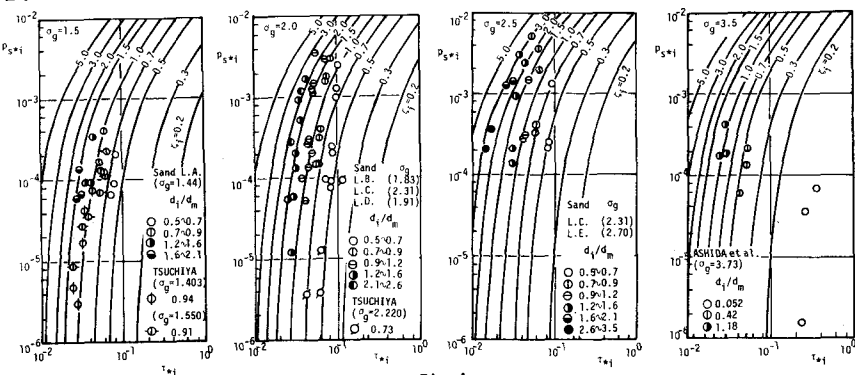


Fig. 4

\* Hiroji NAKAGAWA, Tetsuro TSUJIMOTO, Susumu NAKANO and Takeshi KAGATA

### 3. 粒径別移動砂れき速度 $v_{gi}$

程度にした滑動形式の

平衡速度を粒径別に適用

する。その結果、 $\sqrt{C_{xi}} / \sqrt{C_{xi}^0} = f(d_i)$

$$= \sqrt{C_{xi}} \left\{ \frac{1}{C_{xi}} \ln \left( \frac{1.05 d_i}{d_m} \right) \right\}^{1/2}$$

$$- \frac{2\pi}{C_D} \frac{A_2}{A_1} \frac{1}{C_{xi}} \right\} \quad (*)$$

が得られる。 $16\text{mm}$  フィルム

解析で任意抽出して得

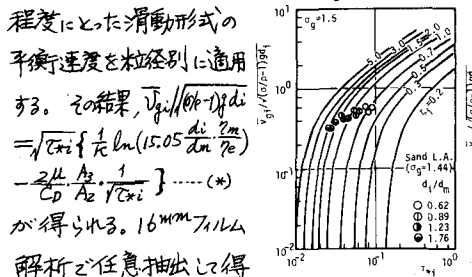


Fig. 5

しれる粒径別平均速度（約0.03秒で評価）と式(\*)

の計算曲線は図-5に示すように比較的良く合致している。

なお、粒径別の移動砂れき速度の変動係数  $\alpha_g$  は概ね0.3~0.6程度であるが  $d_i$  の小さい程、また粒径  $d_i$  が大きい程  $\alpha_g$  は若干大きいようである。

図-6には  $\alpha_g$  と  $t_*i$  の関係、図-7には  $v_{gi}$  の分布の一例

を示した。 $v_{gi}$  の分布は  $\sigma_g = \sqrt{d_{10}/d_{60}}$  にほとんど依存せず、混合砂の場合 粒径別に平均値は異りても標準化された統計的構造はほぼ不变であるといえる。

### 4. 粒径別移動砂れき数密度 $\eta_{gi}$ 16mm

フィルム解析によると単位時間にある断面を通過する砂れき個数とその速度から粒径別移動砂れき数密度  $\eta_{gi}$  を求め、 $\eta_{gi}/p_i \equiv \eta_{gi} A_2 d_i^2/p_i$  ( $p_i$ :粒径  $d_i$  の砂の河床表面面積占有率=基本試料重量比率) と  $t_*i$  との関係を調べた（図-8）。この結果  $d_i$  の増加による粒径別流砂量  $\eta_{gi}$  の増加は  $v_{gi}$  よりもおろかに増

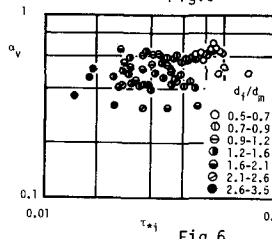


Fig. 6

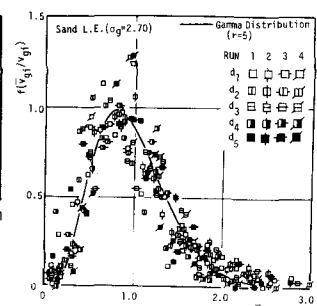


Fig. 7

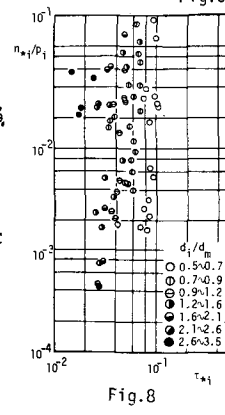


Fig. 8

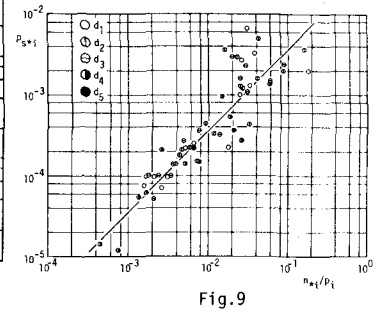


Fig. 9

加で受けもたれていることがわかる。なお平衡状態では実験的に次式の成立が認められた。 $\eta_{gi} = 0.037 n_{star_i} / p_i$  (\*\*)

5. 粒径別 step length  $\lambda_i$   $\lambda_{Bi} = \bar{v}_{gi} \cdot d_i \cdot A_3 d_i^3 = p_i (A_3/A_2) \rho_s \lambda_i d_i$  たり  $\frac{\eta_{gi}}{p_i} = \frac{\lambda_i}{\bar{v}_{gi}} = \frac{d_i}{\sqrt{C_{xi}} \cdot \sqrt{C_{xi}^0 - 1} \cdot \bar{v}_{gi}}$  (\*\*\*)

が得られる。式(\*\*\*)の④は1stepのmoving period  $T_m$ 、⑤は粒径分だけの次降時間

$T_f$  であり、式(\*\*)の実験式は  $T_m/T_f = \text{const.} \approx 27$  を示す。これを認めるとき式(\*)を用いて step length と  $t_*i$  の関係が求められる。この結果を実測値と比較したものか図-10である。

今後上述の結果を再構築しその適用性を調べてゆく。

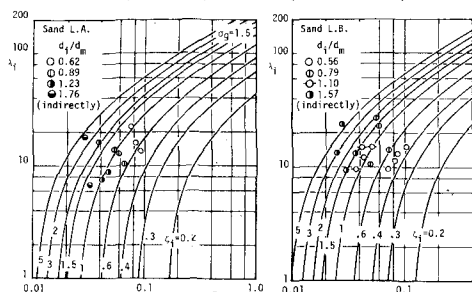


Fig. 10